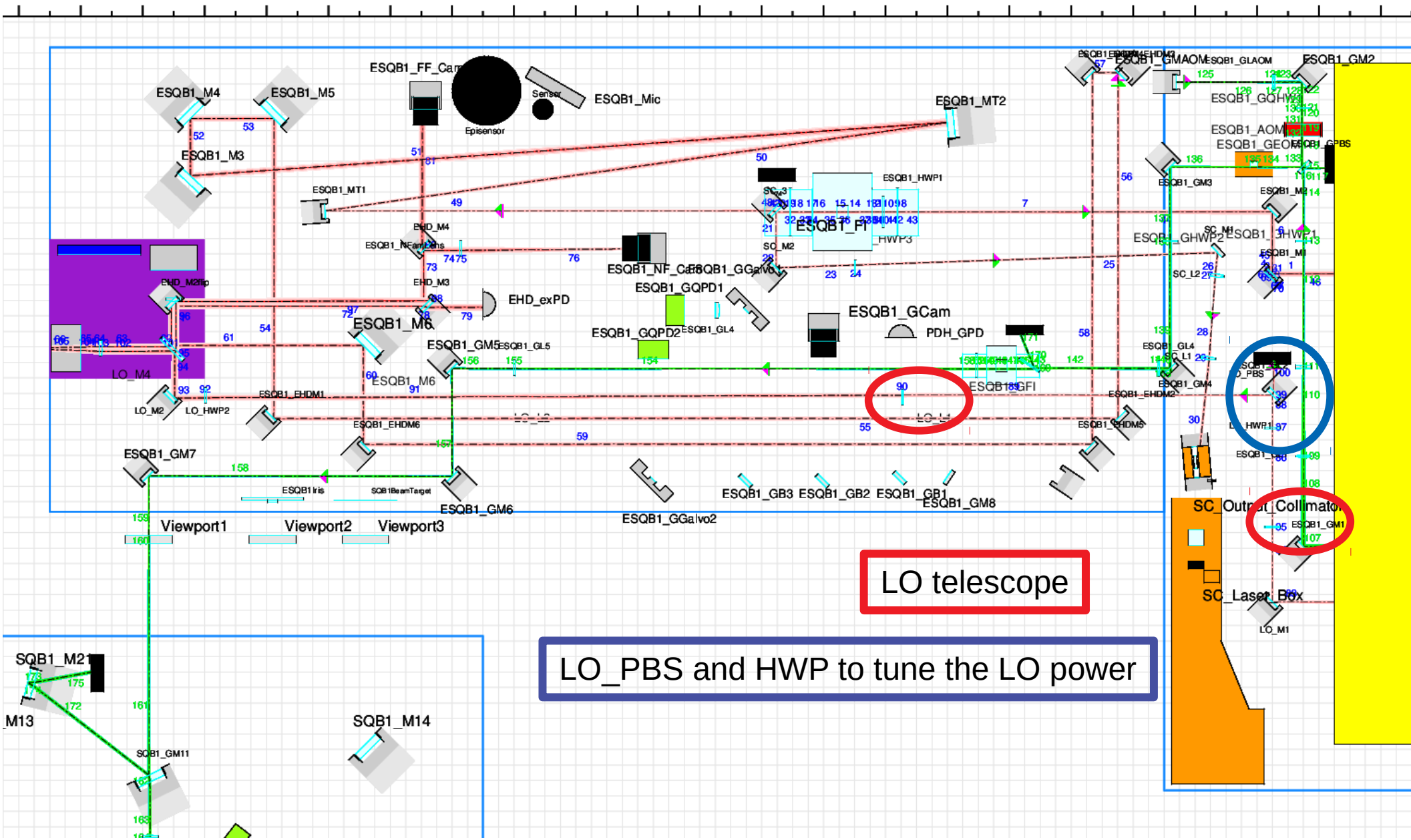
ESQB1_M4
ESQB1_M5
ESQB1_FF_Cam
Episensor
Sensor
ESQB1_Mic
ESQB1_MT2
ESQB1_M3
ESQB1_MT1
ESQB1_HWP1
ESQB1_FI
ESQB1_HWP3
ESQB1_NF_Cam
ESQB1_GGalvo1
ESQB1_GQPD1
ESQB1_GQPD2
ESQB1_GL4
EHD_exPD
ESQB1_M6
ESQB1_GM5
ESQB1_GL5
ESQB1_GCam
PDH_GPD
ESQB1_GFI
LO_M4
LO_M2
LO_HWP2
ESQB1_EHDM1
ESQB1_EHDM6
ESQB1_GM7
ESQB1_GM6
ESQB1 Iris
SQB1BeamTarget
ESQB1_GGalvo2
ESQB1_GB3
ESQB1_GB2
ESQB1_GB1
ESQB1_GM8
ESQB1_EHDM5
ESQB1_EHDM2
ESQB1_GM4
ESQB1_GM3
ESQB1_GM2
ESQB1_GMAOM
ESQB1_GLAOM
ESQB1_GQHWP
ESQB1_AOM
ESQB1_GEO
ESQB1_GPBS
ESQB1_GHWP2
ESQB1_3HWP1
SC_M1
SC_M2
SC_L1
SC_L2
LO_PBS
LO_HWP1
LO_L1
LO_L2
SC_Output_Collimator
SC_Laser_Box
LO_M1
ESQB1_GM1
Viewport1
Viewport2
Viewport3
SQB1_M21
SQB1_M14
SQB1_GM11
LO telescope
LO_PBS and HWP to tune the LO power